


# FTR - Flight Test Report

Dieser Prüfbericht darf ohne schriftliche Zustimmung der EAPR nicht, auch nicht auszugsweise, veröffentlicht werden.

Costruttore	 Skyman - Fly Market GmbH & Co.KG Am Schönbach 3 D-87637 Eisenberg	N° test	EAPR-GS-0415/15
		numero di serie	2k3-Am-27-49
Modello	Amicus M	Luogo	Achensee
			Achensee, Rofan



Rev. 2.3 - 26.11.2014  
 EAPR GmbH - Marktstr. 11  
 D-87730 Bad Grönenbach - Germany

Data del test	27. & 29.07.2015	Peso minimo al decollo	85 kg	Peso massimo al decollo	105 kg
Test pilot		Mike Küng		Mario Eder	
Selletta		EAPR-Testequipment		EAPR schwer	
Peso totale al decollo		85 kg		105 kg	

Classificazione	A
-----------------	---



Criteri del test	Peso minimo al decollo	Valutazione	Peso massimo al decollo	Valutazione
<b>1. Gonfiaggio/decollo - 4.4.1</b>				
Comportamento nel gonfiaggio	Gonfiaggio dolce, facile e progressivo	A	Gonfiaggio dolce, facile e progressivo	A
Tecnica specifica richiesta per il decollo	No	A	No	A
<b>2. Atterraggio - 4.4.2</b>				
Tecnica specifica richiesta per l'atterraggio	No	A	No	A
<b>3. Velocità nel volo rettilineo - 4.4.3</b>				
Velocità di trim superiore a 30 km/h	Si	A	Si	A
Velocità a freni completamente abbassati superiore a 10 km/h	Si	A	Si	A
Velocità minima	inferiore a 25 km/h	A	inferiore a 25 km/h	A
<b>4. Controllo del punto di stallo dichiarato dal costruttore - 4.4.4</b>				
Peso massimo in volo fino a 80 kg		-		-
Peso massimo in volo da 80 kg a 100 kg		-		-
Peso massimo in volo superiore a 100 kg	Crescente >65 cm	A	Crescente >65 cm	A
<b>5. Stabilità sull'asse di beccheggio in uscita dal volo accelerato - 4.4.5</b>				
Angolo di picchiata in uscita	Picchiata inferiore a 30°	A	Picchiata inferiore a 30°	A
Conseguente chiusura	No	A	No	A
<b>6. Stabilità sull'asse di beccheggio agendo sui comandi nel volo accelerato - 4.4.6</b>				
Conseguente chiusura	No	A	No	A
<b>7. Stabilità sull'asse di rollio e smorzamento - 4.4.7</b>				
Oscillazioni	Si autostabilizza	A	Si autostabilizza	A
<b>8. Stabilità in spirale neutra - 4.4.8</b>				
Tendenza a riprendere il normale assetto di volo	Uscita spontanea	A	Uscita spontanea	A
<b>9. Behaviour exiting a fully developed spiral dive - 4.4.9</b>				
Initial response of glider (first 180°)	Immediate reduction of rate in turn	A	Immediate reduction of rate in turn	A
Tendenza a riprendere il normale assetto di volo	Uscita spontanea	A	Uscita spontanea	A
Angolo di rotazione per ritrovare il normale assetto di volo	Inferiore a 720°, uscita spontanea	A	Inferiore a 720°, uscita spontanea	A
<b>10. Chiusura frontale simmetrica - 4.4.10</b>				
Folding lines used	No		No	
Ingresso	Arretra meno di 45°	A	Arretra meno di 45°	A
Uscita	Spontaneo in meno di 3 sec.	A	Spontaneo in meno di 3 sec.	A
Angolo di picchiata in uscita	0° - 30°	A	0° - 30°	A
Conseguente cascata di configurazioni	Mantiene la traiettoria di volo	A	Mantiene la traiettoria di volo	A
Ingresso	No	A	No	A
Uscita	Arretra meno di 45°	A	Arretra meno di 45°	A
Uscita	Spontaneo in meno di 3 sec.	A	Spontaneo in meno di 3 sec.	A
Angolo di picchiata in uscita	0° - 30°	A	0° - 30°	A
Conseguente cascata di configurazioni	Rotazione inferiore a 90°	A	Mantiene la traiettoria di volo	A
Ingresso	No	A	No	A
Uscita	Arretra meno di 45°	A	Arretra meno di 45°	A
Uscita	Spontaneo in meno di 3 sec.	A	Spontaneo in meno di 3 sec.	A
Angolo di picchiata in uscita	0° - 30°	A	0° - 30°	A
Conseguente cascata di configurazioni	Rotazione inferiore a 90°	A	Mantiene la traiettoria di volo	A
Ingresso	No	A	No	A
<b>11. Uscita dallo stallo paracadutale - 4.4.11</b>				
Fase paracadutale raggiungibile	Si		Si	
Uscita	Spontaneo in meno di 3 sec.	A	Spontaneo in meno di 3 sec.	A
Angolo di picchiata in uscita	0° - 30°	A	0° - 30°	A
Cambio di direzione	Cambio di direzione inferiore a 45°	A	Cambio di direzione inferiore a 45°	A
Conseguente cascata di configurazioni	No	A	No	A

12. Uscita da uno stallo di B rilasciato molto lentamente - 4.4.12								
Uscita	Spontaneo in meno di 3 sec.			A	Spontaneo in meno di 3 sec.		A	
Consequente cascata di configurazioni	No			A	No		A	
13. Uscita da uno stallo simmetrico trattenuto (post stallo) - 4.4.13								
Angolo di picchiata in uscita	0° - 30°			A	0° - 30°		A	
Chiusura	Senza conseguente chiusura			A	Senza conseguente chiusura		A	
Consequente cascata di configurazioni	No			A	No		A	
Oscilla indietro	Inferiore a 45°			A	Inferiore a 45°		A	
Tensione delle linee	Tensione della maggior parte delle linee			A	Tensione della maggior parte delle linee		A	
14. Chiusura asimmetrica - 4.4.14								
Folding lines used	No				No			
Cambio di direzione prima della riapertura	Senza acceleratore, max. chiusura 50%	< 90°	Angolo di picchiata o di rollio compreso entro 15° - 45°	A	< 90°	Angolo di picchiata o di rollio compreso entro 0° - 15°	A	
		Riapertura spontanea			A	Riapertura spontanea		A
Comportamento nella riapertura		Inferiore a 360°			A	Inferiore a 360°		A
Variazione totale della direzione		No			A	No		A
Consequente chiusura della semiala opposta		No			A	No		A
Consequente twist		No			A	No		A
Consequente cascata di configurazioni		No			A	No		A
Cambio di direzione prima della riapertura	Senza acceleratore, max. chiusura 75%	< 90°	Angolo di picchiata o di rollio compreso entro 15° - 45°	A	< 90°	Angolo di picchiata o di rollio compreso entro 15° - 45°	A	
		Riapertura spontanea			A	Riapertura spontanea		A
Comportamento nella riapertura		Inferiore a 360°			A	Inferiore a 360°		A
Variazione totale della direzione		No			A	No		A
Consequente chiusura della semiala opposta		No			A	No		A
Consequente twist		No			A	No		A
Consequente cascata di configurazioni		No			A	No		A
Cambio di direzione prima della riapertura	Con acceleratore, max. chiusura 50%	< 90°	Angolo di picchiata o di rollio compreso entro 15° - 45°	A	< 90°	Angolo di picchiata o di rollio compreso entro 0° - 15°	A	
		Riapertura spontanea			A	Riapertura spontanea		A
Comportamento nella riapertura		Inferiore a 360°			A	Inferiore a 360°		A
Variazione totale della direzione		No			A	No		A
Consequente chiusura della semiala opposta		No			A	No		A
Consequente twist		No			A	No		A
Consequente cascata di configurazioni		No			A	No		A
Cambio di direzione prima della riapertura	Con acceleratore, max. chiusura 75%	< 90°	Angolo di picchiata o di rollio compreso entro 15° - 45°	A	< 90°	Angolo di picchiata o di rollio compreso entro 15° - 45°	A	
		Riapertura spontanea			A	Riapertura spontanea		A
Comportamento nella riapertura		Inferiore a 360°			A	Inferiore a 360°		A
Variazione totale della direzione		No			A	No		A
Consequente chiusura della semiala opposta		No			A	No		A
Consequente twist		No			A	No		A
Consequente cascata di configurazioni		No			A	No		A
15. Cambio di direzione in seguito a una chiusura asimmetrica trattenuta - 4.4.15								
Capacità a mantenere il volo rettilineo	Si			A	Si		A	
Rotazione di 180° in 10 sec. dalla parte opposta alla chiusura	Si			A	Si		A	
Differenza di trazione del comando fra la virata, lo stallo e la vite piatta negativa	Trazione simmetrica dei freni superiore al 50%			A	Trazione simmetrica dei freni superiore al 50%		A	
16. Tendenza al negativo a velocità di trim - 4.4.16								
Consequente vite piatta negativa	No			A	No		A	
17. Tendenza al negativo alle basse velocità - 4.4.17								
Consequente vite piatta negativa	No			A	No		A	
18. Uscita da una vite piatta negativa - 4.4.18								
Angolo di rotazione in vite piatta negativa dopo il rilascio del comando	Esce dalla spirale in meno di 90°			A	Esce dalla spirale in meno di 90°		A	
Consequente cascata di configurazioni	No			A	No		A	
19. Stallo di B - 4.4.19								
Cambiamento di direzione dopo il rilascio	Cambio di direzione inferiore a 45°			A	Cambio di direzione inferiore a 45°		A	
Comportamento prima del rilascio	Mantiene la stabilità senza alcuna deformazione del profilo			A	Mantiene la stabilità senza alcuna deformazione del profilo		A	
Uscita	Spontaneo in meno di 3 sec.			A	Spontaneo in meno di 3 sec.		A	
Angolo di picchiata in uscita	30° - 60°			A	0° - 30°		A	
Consequente cascata di configurazioni	No			A	No		A	
20. Grandi orecchie - 4.4.20								
Procedura d'ingresso	Tecnica standard			A	Sistemi di controllo dedicati		A	
Comportamento durante le grandi orecchie	Volo stabile			A	Volo stabile		A	
Uscita	Spontaneo in meno di 3 sec.			A	Spontaneo in meno di 3 sec.		A	
Angolo di picchiata in uscita	0° - 30°			A	0° bis 30°		A	
21. Grandi orecchie con acceleratore - 4.4.21								
Procedura d'ingresso	Tecnica standard			A	Sistemi di controllo dedicati		A	
Comportamento durante le grandi orecchie	Volo stabile			A	Volo stabile		A	
Uscita	Spontaneo in meno di 3 sec.			A	Spontaneo in meno di 3 sec.		A	
Angolo di picchiata in uscita	0° - 30°			A	0° bis 30°		A	
Comportamento durante le grandi orecchie trattenute dopo il rilascio dell'acceleratore	Volo stabile			A	Volo stabile		A	
23. Tecniche alternative di pilotaggio - 4.4.22								
Virata di 180° possibile in 20 sec.	Si			A	Si		A	
Consequente vite piatta negativa o stallo	No			A	No		A	
23. Altre procedure e/o configurazioni di volo descritte nel manuale d'uso - 4.4.23								
Esecuzione corretta della manovra / manuale				NA			NA	
Manovra adatta per i piloti principianti				NA			NA	
Consequente cascata di configurazioni				NA			NA	
24. Osservazioni del test pilot								